

## 医薬部外品等に含まれる成分の網羅的抗原性の解析

研究分担者 伊東 祐二 鹿児島大学大学院理工学研究科 生命化学専攻 教授

### 研究要旨:

茶のしずく小麦アレルギーの原因となる IgE 抗体の特性解析を行うため、患者由来の IgE 単鎖 Fv 抗体ライブラリを構築し、グルテンならびにグルパール 19S に対するバイオパンニングによって、疾患の原因と考えられる特異クローンの単離を行った。得られたクローンの多くは、グルテンに対する結合活性を有するものの、グルパール 19S に対する特異性は示さなかった。グルパール 19S に特異性をもつクローンが得られなかった原因として、目的の抗体遺伝子の存在率が低く、また、バイオパンニングによる濃縮効率が低いことが考えられた。そこで、バイオパンニング前後でのライブラリ中の抗体配列を次世代シーケンサーによって網羅的に解析することで、特異クローンの解析を進めた結果、複数種のグルテン、並びに、グルパール 19S に特異的な IgE 抗体の VH 配列の特定に成功した。

### A. 研究目的

本研究の目的は、医薬部外品・化粧品に含まれる様々な工業添加物によるアレルギーの発症原因の解明に向け、アレルギー患者から原因となる抗体を単離し、その特異性や性質を決定することで、アレルギー反応に関わる物質の網羅的抗原性の解析を行うことである。このような、疾患の直接的原因となる抗体クローンの解析は、本研究で用いる抗体ファージライブラリ技術によって初めて可能であり、より詳細な抗原性の解析が達成できる。

昨年度において、茶のしずく石鹼による小麦アレルギー患者 13 名の血清中の小麦加水分解物に対する抗体価の測定により、原因となるグルパール 19S に対する IgE 抗体が患者血清の中で有意に高いことを明らかにし、患者(患者 4)由来の抗体ライブラリを構築した。このライブラリを用いて、グルパール 19S に対するバイオパンニングによって、特異的抗体クローンファージの単離を行ったところ、3 種の特異的ク

ローンファージの単離に成功した。本年度は、これらのクローンの特性解析を進めるとともに、他の茶のしずく石鹼による小麦アレルギー患者、さらに、通常的小麦アレルギー患者の IgE 抗体ライブラリを作製し、アレルギーの原因となる抗体の単離を進めた。特に、次世代シーケンサー技術をファージライブラリによる抗体単離と組み合わせることにより、アレルギーの原因となる IgE クローンの網羅的な解析技術の確立を試みた。

### B. 研究方法

**生体サンプルと材料** 茶のしずく石鹼による小麦アレルギーを発症した患者 P4 と P12、並びに、通常的小麦アレルギー患者(P' 14-17)の血液サンプルは、昨年度の報告書に記載した様に、国立病院機構相模原病院の福富友馬医師のご協力により、患者本人との同意書による承諾のもと採取されたものを用いた。

**患者血漿を用いた ELISA 測定** 患者血清のグルテン並びにグルパール 19S に対する IgE 抗体価

は、昨年度の報告書に記載の方法で測定した。**IgE 抗体ファージライブラリの作製** 患者由来の IgE 抗体ライブラリの作製は、昨年度の報告書に記載の方法で構築した。

**バイオパンニングによる抗体クローンの単離** グルテン、グルパール 19S に対するバイオパンニングの方法も、昨年度の報告書の記載の方法で行った。

**次世代シーケンサーによる IgE 抗体の VH 領域の網羅的配列解析** 構築した IgE 抗体ライブラリあるいはバイオパンニング後の抗体ライブラリからファージミド DNA を精製し、これを鋳型に VH 特異的 5' 並びに 3' プライマーを用いて、VH 遺伝子を増幅した。次世代シーケンサー用のサンプル調製は、基本的に TruSeq™ DNA Sample Preparation v2 (Illumina) のプロトコールに従って行った。先に増幅した PCR 産物の両端に、アダプター配列を付加するための PCR を行い、さらにインデックス配列を付加した P5 並びに P7 プライマーを使って PCR を行った。解析は、次世代 DNA シーケンサー MiSeq (Illumina) を用いて行った。得られたシーケンスデータの解析は、CLC Genomics Workbench ver5 (CLC Bio) ソフトウェアを使って行い、"Merge Overlapping Pairs" tool を使って、5' 側 3' 側の配列をつなぐことによって、全長の VH 遺伝子配列を決定した。

## C. 研究結果

**グルテン、グルパール 19S に対する患者抗体の解析** 昨年度報告した“茶のしずく”小麦アレルギー患者 P4、P12、通常小麦アレルギー患者 P15、並びに代表的な健康人の血漿中のクラス別の抗体価を評価した結果を示した(図1)。アレルギーの原因となる IgE に関しては、茶のしずく患者並びに通常的小麦アレルギー患者において、グルテンに対する抗体価が上がっているが、特に

茶のしずく患者では、グルパール 19S に対する IgE 抗体価が高いのが特徴であり、このアレルギー患者は、グルパール 19S を含む茶のしずく石鹸によりアレルギーが誘発されたことを支持している。一方、通常小麦アレルギーの患者の IgE については、グルパール 19S に対する抗体価は低く、グルテンに対する抗体のみが見られた。

**抗原特異的 IgE の取得のための患者抗体ライブラリの作製** このような抗原の違いによって誘導される IgE 抗体のクローンレベルでの特異性、エピトープの違いを明らかにするため、茶のしずく患者 P4 並びに P12、通常小麦アレルギー患者の血液由来の IgE 抗体ファージライブラリを作製し、特異的な IgE クローンの単離を試みた。

昨年度の報告で、茶のしずく患者 P4 由来の IgE 抗体ライブラリを作製したが、これに引き続き、本年度では、茶のしずく患者 P12 と通常小麦アレルギー患者 4 人のプール血液サンプル由来の抗体ファージライブラリを作製した。作製した抗体ライブラリの多様性は、昨年度報告した茶のしずく患者 P4 ライブラリが、 $3.8 \times 10^7$  (VH-VL :  $2.1 \times 10^7$  並びに VH-VL :  $1.7 \times 10^7$ )、茶のしずく患者 P12 ライブラリが、 $2.8 \times 10^7$  (VH-VL :  $1.1 \times 10^7$  並びに VH-VL :  $1.7 \times 10^7$ )、通常小麦アレルギーライブラリは、 $4.8 \times 10^7$  (VH-VL :  $2.8 \times 10^7$  並びに VH-VL :  $2.0 \times 10^7$ ) であった。これらのライブラリを用いて、グルテン、並びに、グルパールに対するバイオパンニングを行った。

茶のしずく患者 P4 ライブラリのグルパール 19S に対するバイオパンニングでは、B9、E9、G7 の 3 つのクローンが得られたが、これらはいずれも、グルテンに対する高い特異性を示した(図2)。このことは、得られた 3 種のクローンは、グルパール 19S に特異的なエピトープではなく、グルテンに特異的なエピトープを認識していることを

示している。バイオパンニングによる段階でもグルテンに対する結合が優位に見えている（図4A）ことから、パンニングで、グルテンに対するクローンが優位に増幅されたことが考えられるが、何故、グルパール19Sに存在しないエピトープを認識する抗体クローンがグルパール19Sに対するパンニングで、エンリッチされるのか原因は定かでない。

次に、茶のしずくアレルギーの特徴となっているグルパール19Sに対するIgE抗体クローンの取得のため、グルテンに対するIgE抗体価が低く、グルパール19Sに極めて高いIgE抗体価を示す患者P12（図1のIgEのパネル参照）由来のライブラリを使って、グルパール19Sに対するバイオパンニングを行った。その結果、図3Aに示した様に、第1ラウンドにおいて、若干グルパール19Sに対する濃縮が確認されたが、第2、3ラウンドでは、同時にグルテンへの結合の増強が見られた。2ラウンド後の各抗体ファージクローンのELISAによる結合スクリーニングを行った。その結果、図3に示した様に、3種の特異的と思われるクローン（クローン8、14、18）が得られたが、いずれも、グルテン特異的なクローンであった。グルパール19Sに対して高いIgE抗体価を有する患者由来のライブラリにおいても、グルテンに対して特異的なクローンしか得られないのが現状では、その理由は不明である。

一方で、通常的小麦アレルギーを引き起こすグルテンに対するIgEと茶のしずくアレルギーの同じくグルテンに対するIgEとの質的な違いがあるかどうかを検討するため、患者P4ライブラリを使ってグルテンに対するパンニングを行い、特異的なクローンの取得を試みた。興味深いことに、パンニング前の最初のライブラリの段階から、グルテンあるいはグルパール19Sに対する高い結合

活性を示し、2ラウンドの後、結合活性がさらに上昇した（図4A）。そこで、1ラウンドならびに2ラウンドのバイオパンニング後のクローン化サンプルのELISAによるスクリーニングを行った（図4）。その結果、1ラウンド後では、48クローン中3クローンでグルテンもしくはグルパール19Sへの結合が見られたが、2ラウンド後では、48クローン中の40クローンで結合活性が見られた。このことは、2ラウンド後、効率よく、グルテンに対する抗体ファージの濃縮が起きていることを示す。ここで、得られたクローンのうち多くのクローンが、弱いながらもグルパール19Sへの結合活性を有していたことは注目に値する。

図2、3、4において示してきたように、患者由来のIgE抗体ライブラリから単離された抗体クローンは、スクリーニングの範囲では、標的としていたグルパール19Sに対するものではなく、グルテンに特異性を持ったクローンしか得られていない。この理由として、患者P12のような高いグルパール19Sに対するIgE抗体価を有する場合でも、グルテンに対するIgE抗体を分泌するB細胞に比べ、グルパール19Sに特異的な抗体を産生するB細胞は極めて少ないことが考えられる。そのため、ライブラリ化してグルパール19Sに対するパンニングを行ったとしても、多くの濃縮される抗体クローンが、グルテン特異的なものであり、100個程度のスクリーニングでは、見つけ出せない可能性が考えられた。そこで、グルパール19Sあるいはグルテンに対する多様な抗体クローンの取得に向け、バイオパンニングの前後で増幅してくる抗体クローンの配列の次世代シーケンサーによる網羅的解析を試みた。

**次世代シーケンサーによる抗体の網羅的配列解析** 今回は、患者P4のIgEライブラリを使ったグルテンに対する1回のバイオパンニング、並びに、患者P12 IgEライブラリを使ったグルパール19Sに対する同じく1回のバイオパンニ

ングによって、増幅されてくる IgE 抗体配列の解析を行った。結果を図 5 と図 6 に示す。

患者 P4 は、グルパール 19S とグルテンに対する IgE 抗体価を示す茶のしずくの小麦アレルギー患者であり、この患者からグルテンに対する IgE 抗体も通常のバイオパンニングによって複数のクローンが得られている (図 4)。図 5 A に、グルテンに対する 1 回のバイオパンニングの前後で、存在率の増加が大きかった配列クローンの上位 (増幅倍率として 2.5 倍以上) を並べた。一番大きな P4-GT1 で、33 倍以上の配列の増幅が見られ、このような増幅率の大きな配列は、グルテン特異的な配列クローンである可能性が高くなる。このような同定をより確実にするため、図 5 A のクローン配列を基に分子系統樹を作製したところ、図 5 B に示した様に、これらのクローンは、互いに高い相同性を持った 11 のサブグループ (クラスター) を形成することが分かった。このうち、クラスター X, Y, Z の中の代表的な配列を図 7 に示した。この X, Y, Z のクラスター内の配列は、極めて高い (98% 以上) 相同性を示し、また、H-CDR3 の配列も基本的には同じであることから、これらのクラスター内の配列の抗体は、同じ親 B 細胞由来のものであることを示している。さらに、図 4 で示した様に、患者 P4 ライブラリからグルテンに対するバイオパンニングによって得られた E7 の配列は、P4-GT2 の配列と同じであったことから、この次世代シーケンサーによる抗原特異的抗体の同定方法が、確度の高いものであることを示している。図 5 で見られるいくつかのクラスターは、異なる特異性を持つ IgE の VH クローンの存在を示しており、これら解析により、グルテンによるアレルギーの原因となる IgE の特定が期待できる。

次に、グルパール 19S に特異的な IgE クローンの特定のために、患者 P12 由来の IgE ライブラリを使って、グルパール 19S に対するパンニング前後の網羅的開裂解析を行った。その結果、グルテンに対する場合と同じように、パンニングによっ

て存在率が増幅されるクローンが見いだされた。図 6 A に示した様に、増幅倍率が 2.5 倍以上の配列クローンは、49 個であったが、グルテンの場合 (図 5 A) と異なり、増幅倍率は、最も高いもの (P12-GP1) で、6 倍程度とそれほど大きくなかった。これらのアミノ酸配列を基に作製した分子系統樹を図 6 B に示す。いくつかのクラスターの形成が見られたが、多くのクラスター内の配列間の相同性は、クラスター M を除いて、それほど高くなく、92% 程度であった。クラスター L, M, N の中の代表的な配列を、図 7 に示すが、グルテンに特異的な IgE の VH 配列として同定された X, Y, Z のグループ内の H-CDR3 がほぼ同じ配列を示すのに対し、グルパールに特異的な IgE の H-CDR3 配列は、クラスター M 以外では、変化に富むものであった。

#### D. 考察

倍パンニング前後でのライブラリ中の抗体の網羅的配列解析によって、2 人の患者由来の IgE ライブラリから、グルテンならびにグルパールに特異性を有する可能性を持つ、いくつかの VH 配列が同定された。バイオパンニングという抗原に対する結合特異性を保証するステップを含んでいるものの、最終的には、抗体を作製し、その特異性を証明する必要がある。通常のパンニングで得られた P4-GT-E7 のクローン (図 4) と、次世代シーケンサー解析により同定された P4-GT2 (図 5) が同一であったことは、次世代シーケンサーによる配列解析が、抗原特異抗体の特定に十分使用できることを示している。図 4 B において得られているクローンのすべての配列の解析を完了しているわけではないが、少なくとも、図 5 B のクラスター解析は、10 種類以上のグルテン特異的な配列の存在を示唆しており、このような多様な IgE 抗体の構造情報は、アレルギー反応の IgE 抗体レベルでの包括的な理解に極めて重要

な情報であり、網羅的配列解析により初めて明らかになったものである。現在、VHの情報だけでなく、ペアとなってFv領域を構成するVLの配列情報の解析を進めている。

患者P12のグルパールに対して得られたIgEのVH配列においても、いくつかのクラスターが見られた。その中で、クラスターM内の配列は、H-CDR3の領域を含め互いに極めて高い相同性を示すこと、この配列がグルパール19S特異的なIgE抗体の可能性が最も高いと予想している。一方、その他のクラスターでは、高い相同性は見られず（90%前後）、これらの配列があまり高くない増幅倍率を示すことを考え併せると、非特異的なクローンである可能性を否定できない。しかし、別の可能性として、これらのクローンは、特異的ではあるが、抗体を発現するB細胞の免疫応答による細胞増殖が強く起こっていないため存在率が極めて少ないことが考えられる。また、標的となるグルパール19Sは、多様なタンパク質の集団であるグルテンをさらに化学的に処理しているため、抗原のエピトープとしては極めて多様性に富んでいることから、パンニングによる濃縮もかかりにくくなっていることが考えられる。

茶のしずく患者と通常型的小麦アレルギーの患者におけるIgE抗体の特性は、患者血清中のポリクローナル抗体のレベルで現在まで解析されてきた。ここで示すアプローチは、疾患の原因となるIgEの特性をクローンのレベルで解析することで、以下のようなアレルギー応答に対する疑問に対する回答が可能かもしれない。1)一般的な小麦アレルギーと茶のしずくアレルギーでは、IgEの特性にどのような質的な違いがあるのか。2)茶のしずくアレルギーは、グルテンとグルパール19Sに交差活性をもつIgEの出現によってか、それとも、グルパール19Sに特異的なIgEの出現

によって、引き起こされるのか。3)そのようなIgEは、どのような部位を標的とするのか。このような小麦アレルギーでのIgEの特性の違いを明らかにすることで、茶のしずく発症の機構、さらには予防に対する展開を図っていきたい。

## E. 結論

IgE抗体ライブラリを使ったバイオパンニングと組み合わされた次世代シーケンサーによる網羅的解析手法は、アレルギーの原因となるIgE抗体配列の同定の上で、極めて有用であり、本法によって、小麦アレルギーの原因となるIgEのクローン配列が特定された。

## F. 健康危険情報

なし

## G. 研究発表

### 1. 論文発表

- 1) Fukunaga, K., Hatanaka, T., Ito, Y. and Taki, M., Gp10 based-thioetherification (10NASEd-T) on a displaying library peptide of bacteriophage T7, *Molecular BioSystems*, **9**, 2988-2991 (2013)
- 2) Muraoka, J., Kamiya, N. and Ito, Y., Preparation and evaluation of cellulose-dissolving magnetic ionic liquid, *Journal of Molecular Liquids*, **182**, 76-78 (2013)
- 3) Muraoka, J., Ozawa, T., Enomoto, Y., Kiyose, N., Imamura, A., Arima, K., Nakayama, H. and Ito, Y., Selection and characterization of human serum albumin-specific porcine scFv antibodies using a phage display library, *Monoclonal Antibodies in Immunodiagnosis and Immunotherapy*, **33**, 42-48 (2014)
- 4) Tokunaga, Y., Azetsu, Y., Fukunaga, Y., Hatanaka T., Ito, Y. and Taki, M., Pharmacophore

Generation from a Drug-like Core Molecule Surrounded by a Library Peptide via the 10BASEd-T on Bacteriophage T7, *Molecules*, **19**, 2481-2496 (2014)

- 5) Imamura, A., Hatanaka, T., Ichizu, K., Kikuta, Y., Himeno, A. and Ito, Y., Identification of Chicken IgY-Specific Binding Peptide from Random Peptide Library and its application for IgY Affinity Purification, *Peptide Science 2013* (2014)
- 6) Imakiire, A., Nakashimada, Y., Hatanaka, T. and Ito, Y., Characterizations and Applications of Small Affinity Peptides Isolated from Disulfide-containing Random Peptide Library, *Peptide Science 2013* (2014)
- 7) Fukunaga, K., Hatanaka, T., Ito, Y., Minami, M., and Taki M., Construction of a crown ether-like supramolecular library by conjugation of genetically-encoded peptide linkers displayed on bacteriophage T7, *Chemical Communications*, accepted.

## 2. 学会発表

- 1) 榎元友里恵, 吉川大和, Hui Kam Man, 有馬一成, 伊東祐二, 患者由来の抗体ファージライブラリを用いた肝癌細胞を標的とした自己抗体の単離と機能解析, 平成 25 年度日本生化学会九州支部例会(佐賀), 2013 年 5 月 18 ~ 19 日
- 2) 清瀬紀彦, 宮崎誠生, 井上聖也, 萩原義久, 有馬一成, 伊東祐二, アルパカ由来 VHH ナイープ抗体ファージライブラリから単離された抗原特異的 VHH 抗体の特性解析, 平成 25 年度日本生化学会九州支部例会 (佐賀), 2013 年 5 月 18 ~ 19 日
- 3) 榎元友里恵, 吉川大和, Hui Kam Man, 有馬一成, 伊東祐二, 患者由来の抗体ファージライブラリから得られた肝癌細胞抗原ルテランに対する自己抗体の性状解析, 第 86 回日本生化学会大会(横浜), 2013 年 9 月 11 ~ 13 日
- 4) 清瀬紀彦, 宮崎誠生, 井上聖也, 有馬一成, 岸本聡, 萩原義久, 伊東祐二, アルパカ由来 VHH ナイープ抗体ファージライブラリから単離された抗原特異的 VHH 抗体の単離と機能解析, 第 86 回日本生化学会大会(横浜) 2013 年 9 月 11 ~ 13 日
- 5) 小澤拓矢, 若井純子, 有馬一成, 伊東祐二, ブタ抗体ファージライブラリを使った抗原特異的ヒト化抗体, 第 86 回日本生化学会大会(横浜) 2013 年 9 月 11 ~ 13 日
- 6) 宮崎誠生, 清瀬紀彦, 萩原義久, 井上聖也, 有馬一成, 伊東祐二, 抗原免疫動物から構築したアルパカ VHH 抗体ファージライブラリからの抗原特異的抗体の単離と機能解析, 第 86 回日本生化学会大会(横浜) 2013 年 9 月 11 ~ 13 日
- 7) Satoshi Muraoka, Hideaki Kume, Hiromi Saitoh, Yurie Enomoto, Yuji Ito, Satoshi Nisizuka, Go Wakabayash, Isamu Hoshino, Hisahiro Matsubara, Takeshi Tomonaga, Development of High-Throughput Screening System Using Autoantibody Library for Discovery of Scirrhus Gastric Cancer Biomarker, HUPO 12th Annual World Congress (横浜), 2013 年 9 月 14 ~ 18 日
- 8) 榎元友里恵, 吉川大和, Hui Kam Man, 有馬一成, 伊東祐二, 肝癌患者由来の抗体ファージライブラリから得られた抗ルテラン抗体の機能解析, 第 37 回蛋白質と酵素の構造と機能に関する九州シンポジウム(長崎), 2013 年 9 月 26 ~ 28 日
- 9) 清瀬紀彦, 宮崎誠生, 井上聖也, 萩原義久, 有馬一成, 伊東祐二, Alpaca 由来 VHH ナイープ抗体ファージライブラリから単離された抗原特異的 VHH 抗体の機能解析, 第 37 回蛋白質と酵素の構造と機能に関する九州シンポジウム(長崎), 2013 年 9 月 26 ~ 28 日
- 10) 宮崎 誠生, 清瀬 紀彦, 萩原義久, 松田 知成, 井上 聖也, 有馬 一成, 伊東 祐二, 抗原免疫動物から構築したアルパカ VHH 抗体ファージライブラリの特性と抗原特異的抗

体単離の研究，第 37 回蛋白質と酵素の構造  
と機能に関する九州シンポジウム(長崎)，  
2013 年 9 月 26～28 日

- 11) 今給黎厚志，中島田雄一，畠中孝彰，伊東祐二，Characterizations and Applications of Small Affinity Peptides Isolated from Disulfide-Containing Random Peptide Library，4th Asia-Pacific International Peptide Symposium，第 50 回ペプチド討論会(大阪)2013 年 11 月 7 日
- 12) 今村礼奈，畠中孝彰，市津希理、菊田朝美、姫野ありさ、伊東祐二，Identification of Chicken IgY-Specific Binding Peptide from Random Peptide Library and its application for IgY Affinity Purification，第 50 回ペプチド討論会(大阪)2013 年 11 月 7 日
- 13) Nobuo Miyazaki, Norihiko Kiyose, Yoshihisa Hagihara, Matsuda Tomonari, Seiya Inoue, Kzunori Arima and Yuji Ito, Isolation and characterization of antigen-specific VHH antibodies from immunized alpaca VHH antibody phage library using Next Generation Sequencing (NGS), Antibody Engineering & Therapeutics 2013 (Huntington Beach, CA) December 08-12, 2013

## **G. 知的財産権の出願・登録状況**

### 1. 特許取得

なし

### 2. 実用新案登録

なし

### 3. その他

なし

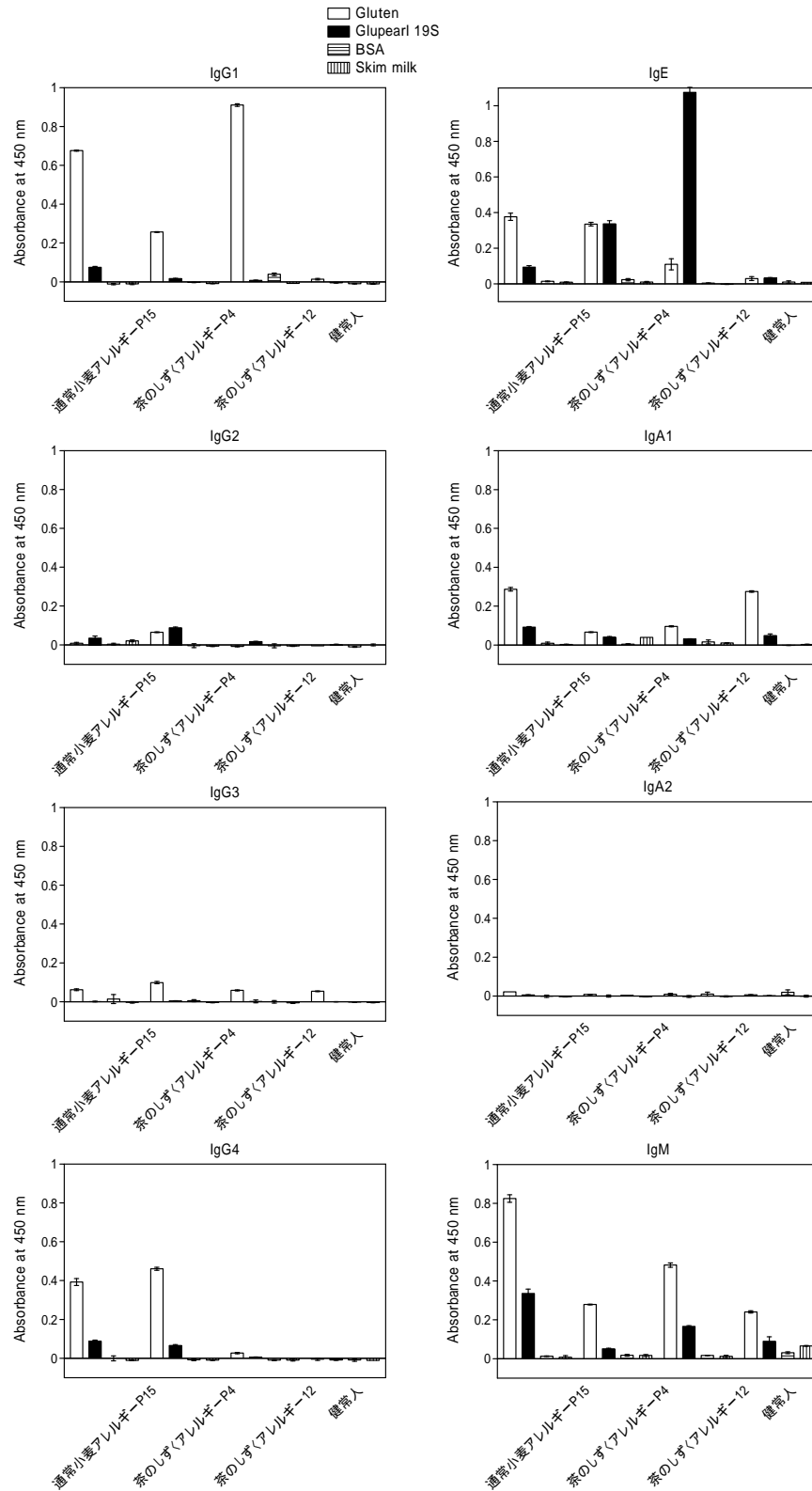
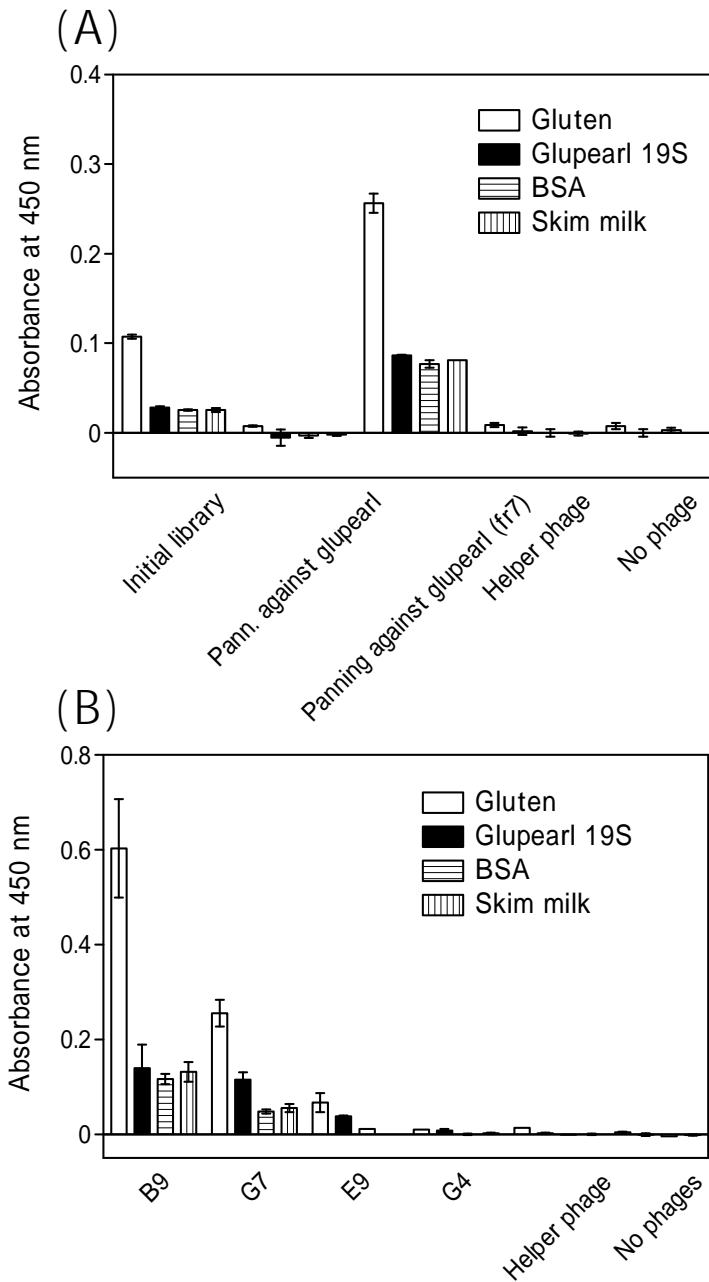
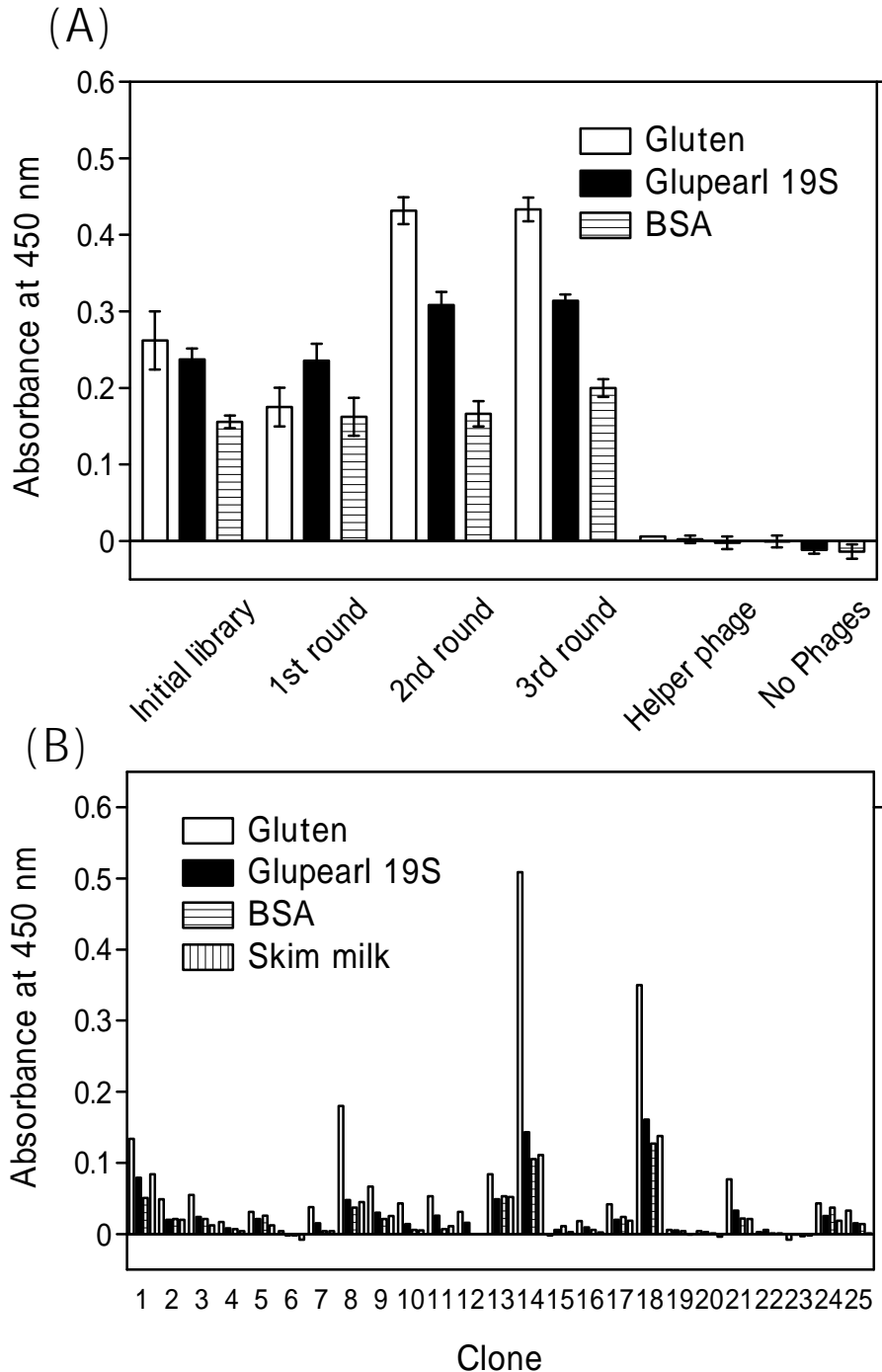


図1 茶のしずく小麦アレルギー患者 P4 と P12 ならびに通常小麦アレルギー患者 P15) の血漿中のグルテン、グルパール 19S に対するクラス別抗体価

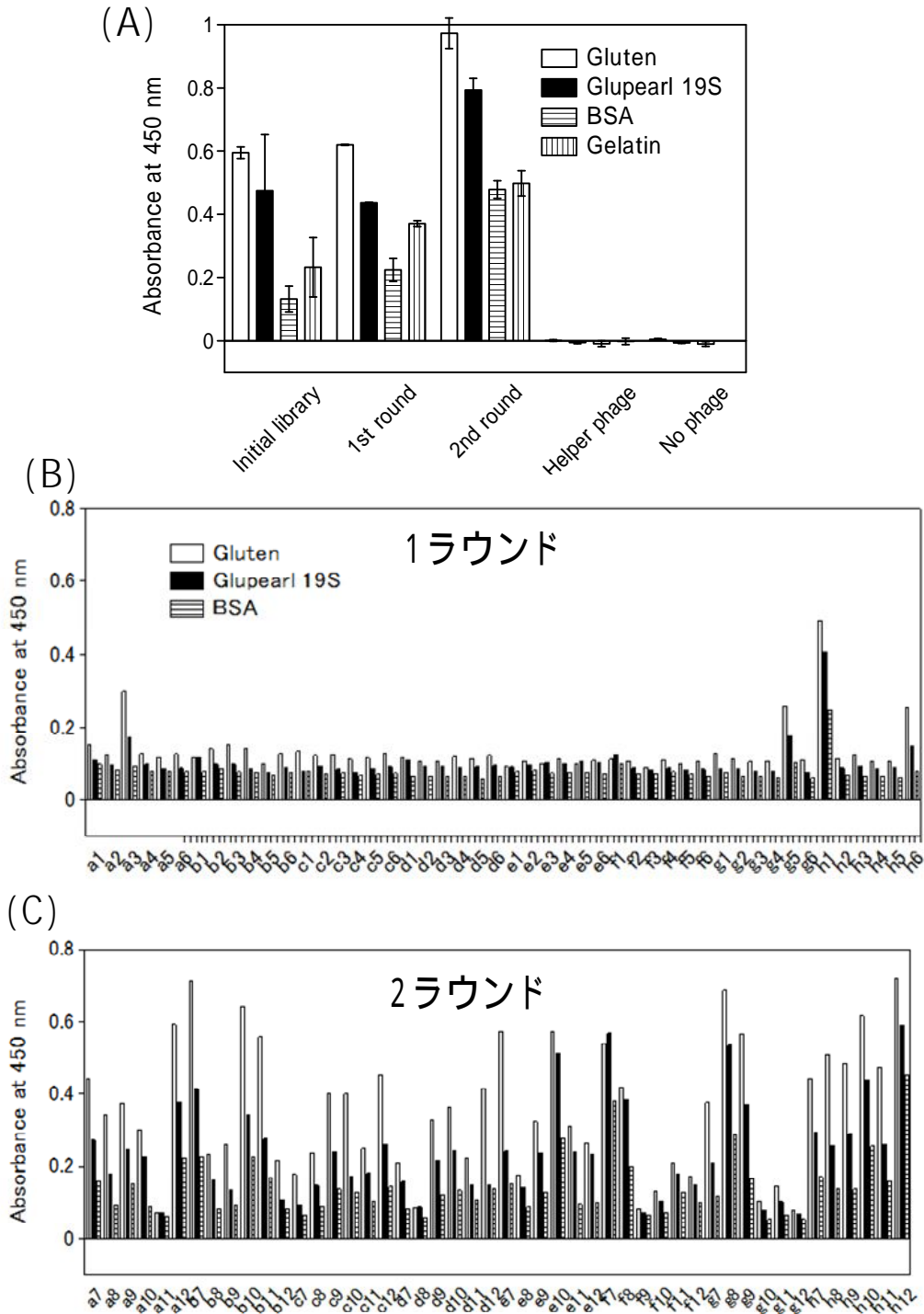




**図2 茶のしずく患者P4 ライブラリ単鎖Fv抗体ファージライブラリからのグルパール19Sに対するバイオパンニングによる抗原特異的クローンの単離** (A) 患者4由来のIgE抗体ファージライブラリからグルパール(GIup-1R)並びにグルパール分画7(昨年度の報告参照)に対する1回のバイオパンニングによって得られたファージ集団のELISAによる抗原結合活性、(B)グルパール(グルパール分画7)に対するバイオパンニングによって得られた3種のグルテン特異的抗体クローンの結合特性



**図3 茶のしずく患者 P12 ライブラリ単鎖 Fv 抗体ファージライブラリからのグルパール 19S に対する バイオパンニングによる抗原特異的クローンの単離** (A) 患者 P12 由来の IgE 抗体ファージライブラリからグルパール (Glupearl 19S) に対する 1 - 3 回のバイオパンニングによって得られたファージ集団の ELISA による抗原結合活性、(B) グルパール (グルパール分画 7) に対する 2 回のバイオパンニング後に得られた 3 種のグルテン特異的抗体クローンの結合特性

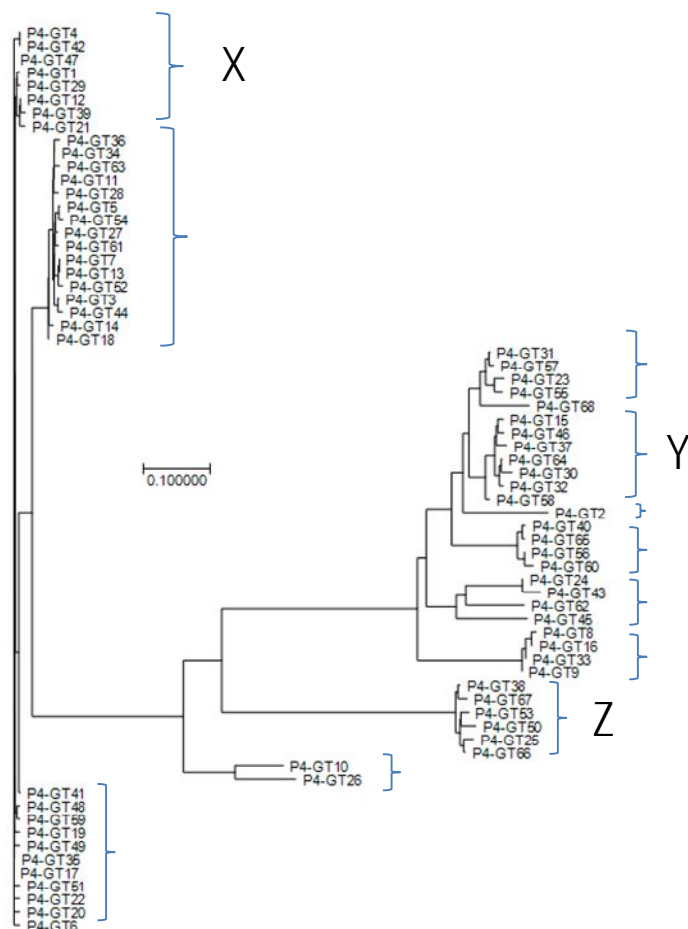


**図4 茶のしずく患者P4 ライブラリ単鎖Fv 抗体ファージライブラリからのグルテンに対するバイオパンニングによる抗原特異的クローンの単離** (A) 患者4由来の IgE 抗体ファージライブラリからグルテンに対するバイオパンニングによって得られたファージ集団の ELISA による抗原結合活性、(B) 1回のバイオパンニング後のクローンの ELISA による結合スクリーニング、(C) 2回のバイオパンニング後のクローンの ELISA による結合スクリーニング

(A)

ID	増幅倍率	パニング前 含有率	パニング後 含有率
>P4-GT1	33.77094	0.00469	0.15828
>P4-GT2	26.53431	0.00937	0.24873
>P4-GT3	19.29768	0.00469	0.09045
>P4-GT4	19.29768	0.00469	0.09045
>P4-GT5	14.47326	0.00469	0.06783
>P4-GT6	14.47326	0.00469	0.06783
>P4-GT7	14.47326	0.00469	0.06783
>P4-GT8	13.26716	0.00937	0.12436
>P4-GT9	12.06105	0.00469	0.05653
>P4-GT10	12.06105	0.00469	0.05653
>P4-GT11	11.68994	0.06093	0.71227
>P4-GT12	10.85495	0.00937	0.10175
>P4-GT13	9.64884	0.00469	0.04522
>P4-GT14	9.64884	0.00469	0.04522
>P4-GT15	9.64884	0.00469	0.04522
>P4-GT16	9.64884	0.00469	0.04522
>P4-GT17	7.79329	0.06093	0.47484
>P4-GT18	7.23663	0.01406	0.10175
>P4-GT19	7.23663	0.00937	0.06783
>P4-GT20	7.23663	0.00937	0.06783
>P4-GT21	7.23663	0.00469	0.03392
>P4-GT22	7.23663	0.00469	0.03392
>P4-GT23	7.23663	0.00469	0.03392
>P4-GT24	7.23663	0.00469	0.03392
>P4-GT25	7.23663	0.00469	0.03392
>P4-GT26	7.23663	0.00469	0.03392
>P4-GT27	6.75419	0.02343	0.15828
>P4-GT28	6.43256	0.01406	0.09045
>P4-GT29	6.03053	0.00937	0.05653
>P4-GT30	6.03053	0.00937	0.05653
>P4-GT31	5.30686	0.02343	0.12436
>P4-GT32	4.82442	0.01406	0.06783
>P4-GT33	4.82442	0.00937	0.04522
>P4-GT34	4.82442	0.00937	0.04522
>P4-GT35	4.82442	0.00937	0.04522
>P4-GT36	4.82442	0.00937	0.04522
>P4-GT37	4.82442	0.00937	0.04522
>P4-GT38	4.82442	0.00469	0.02261
>P4-GT39	4.82442	0.00469	0.02261
>P4-GT40	4.82442	0.00469	0.02261
>P4-GT41	4.82442	0.00469	0.02261
>P4-GT42	4.82442	0.00469	0.02261
>P4-GT43	4.82442	0.00469	0.02261
>P4-GT44	4.82442	0.00469	0.02261
>P4-GT45	4.82442	0.00469	0.02261
>P4-GT46	4.82442	0.00469	0.02261
>P4-GT47	4.82442	0.00469	0.02261
>P4-GT48	4.82442	0.00469	0.02261
>P4-GT49	4.82442	0.00469	0.02261
>P4-GT50	4.82442	0.00469	0.02261
>P4-GT51	4.82442	0.00469	0.02261
>P4-GT52	4.82442	0.00469	0.02261
>P4-GT53	4.82442	0.00469	0.02261
>P4-GT54	4.82442	0.00469	0.02261
>P4-GT55	4.82442	0.00469	0.02261
>P4-GT56	4.82442	0.00469	0.02261
>P4-GT57	4.82442	0.00469	0.02261
>P4-GT58	4.82442	0.00469	0.02261
>P4-GT59	4.02035	0.01406	0.05653
>P4-GT60	4.02035	0.01406	0.05653
>P4-GT61	3.61832	0.01875	0.06783
>P4-GT62	3.61832	0.00937	0.03392
>P4-GT63	3.61832	0.00937	0.03392
>P4-GT64	3.31679	0.03750	0.12436
>P4-GT65	3.21628	0.01406	0.04522
>P4-GT66	3.01526	0.01875	0.05653
>P4-GT67	3.01526	0.01875	0.05653
>P4-GT68	2.89465	0.02343	0.06783

(B)



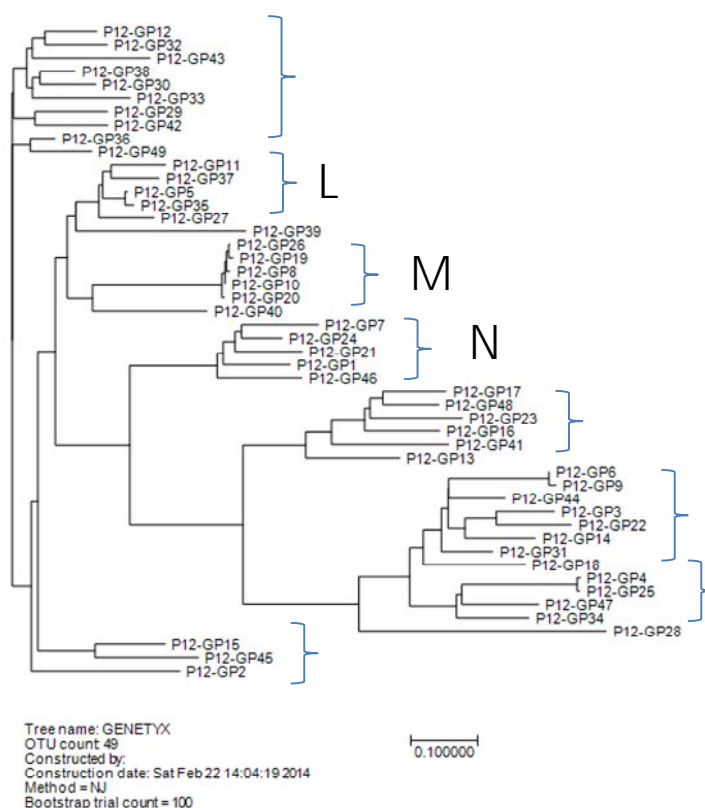
**図5 次世代シーケンサーによって解析された、患者 P4 の IgE ライブラリのグルテンに対するバイオパンニングによって増幅された特異クローン** (A) 患者 P4 の IgE ライブラリのバイオパンニング

前後での各クローン配列の全体集団における存在率と、存在率の比から算出されたバイオパンニングによる増幅倍率。(B) 増幅倍率が 2.5 倍以上のクローン (ID) のアミノ酸配列を基にした分子系統樹。}は、系統樹でクラスターを形成すると認められるクローンをまとめた。クラスターX,Y,Z の中の代表的なクローンのアミノ酸配列を図7に示した。

(A)

ID	増幅倍率	パニング前 含有率	パニング後 含有率
>P12-GP1	6.01385	0.01581	0.09509
>P12-GP2	5.26212	0.00791	0.04160
>P12-GP3	5.26212	0.00791	0.04160
>P12-GP4	5.26212	0.00791	0.04160
>P12-GP5	5.07418	0.01581	0.08023
>P12-GP6	4.88625	0.00791	0.03863
>P12-GP7	4.88625	0.00791	0.03863
>P12-GP8	4.51039	0.00791	0.03566
>P12-GP9	4.51039	0.01581	0.07132
>P12-GP10	4.25198	0.12649	0.53784
>P12-GP11	4.13452	0.00791	0.03269
>P12-GP12	4.13452	0.00791	0.03269
>P12-GP13	4.13452	0.00791	0.03269
>P12-GP14	4.13452	0.01581	0.06537
>P12-GP15	4.13452	0.00791	0.03269
>P12-GP16	3.75865	0.00791	0.02972
>P12-GP17	3.75865	0.00791	0.02972
>P12-GP18	3.75865	0.00791	0.02972
>P12-GP19	3.75865	0.00791	0.02972
>P12-GP20	3.50808	0.02372	0.08320
>P12-GP21	3.38279	0.00791	0.02674
>P12-GP22	3.38279	0.01581	0.05349
>P12-GP23	3.38279	0.00791	0.02674
>P12-GP24	3.38279	0.00791	0.02674
>P12-GP25	3.38279	0.00791	0.02674
>P12-GP26	3.38279	0.00791	0.02674
>P12-GP27	3.38279	0.00791	0.02674
>P12-GP28	3.38279	0.00791	0.02674
>P12-GP29	3.38279	0.00791	0.02674
>P12-GP30	3.25750	0.02372	0.07726
>P12-GP31	3.00692	0.00791	0.02377
>P12-GP32	3.00692	0.00791	0.02377
>P12-GP33	3.00692	0.00791	0.02377
>P12-GP34	3.00692	0.00791	0.02377
>P12-GP35	3.00692	0.00791	0.02377
>P12-GP36	2.91296	0.03162	0.09212
>P12-GP37	2.81899	0.01581	0.04457
>P12-GP38	2.63106	0.00791	0.02080
>P12-GP39	2.63106	0.00791	0.02080
>P12-GP40	2.63106	0.00791	0.02080
>P12-GP41	2.63106	0.00791	0.02080
>P12-GP42	2.63106	0.00791	0.02080
>P12-GP43	2.63106	0.00791	0.02080
>P12-GP44	2.63106	0.00791	0.02080
>P12-GP45	2.63106	0.01581	0.04160
>P12-GP46	2.63106	0.00791	0.02080
>P12-GP47	2.63106	0.00791	0.02080
>P12-GP48	2.63106	0.00791	0.02080
>P12-GP49	2.50577	0.02372	0.05943

(B)



**図6 次世代シーケンサーによって解析された、患者 P12 の IgE ライブラリのゲルパール 19S に対するバイオパニングによって増幅された特異クローン** (A) 患者 P12 の IgE ライブラリのバイオ

パニング前後での各クローン配列の全体集団における存在率と、存在率の比から算出されたバイオパニングによる増幅倍率。(B) 増幅倍率が 2.5 倍以上のクローン (ID) のアミノ酸配列を基にした分子系統樹。クラスター L, M, N の中の代表的なクローンのアミノ酸配列を図 7 に示した。

